

УДК 539.375

Дохняк Б.М., канд. техн. наук

РОЗРАХУНОК КОНСТРУКЦІЙ ІЗ КОМПОЗИЦІЙНИХ МАТЕРІАЛІВ МЕТОДОМ СКІНЧЕННИХ ЕЛЕМЕНТІВ

Вступ. Конструкції із композиційних матеріалів знайшли широке застосування у різних галузях сучасної техніки. Це викликано прагненням отримати меншу матеріаломісткість виробів при необхідній міцності і жорсткості, а також можливістю варіювання властивостями композиційного матеріалу за рахунок зміни структури його армування.

Композиційний матеріал представляє собою шарувату структуру, в якій траєкторії армування лежать в площині шарів, зв'язок між якими здійснюється через прошарки в'язучих матеріалів [1,9].

Властивості композиційних матеріалів обумовлюються не тільки властивостями арматури, але і більшою мірою від її укладанням. Варіюючи кут укладання арматури в шарі, можна отримати заданий ступінь анізотропії властивостей, а змінюючи порядок укладання шарів і кут укладання їх по товщині, можна ефективно варіювати жорсткість композиційного матеріалу.

Питання теорії багатошарових пластин і оболонок розглядалися в працях А.Н. Гузя [1,10], С.А. Амбарцумяна [2], П.М. Огибалова і М.А. Колтунова [3], А.Г. Терегулова [4], В.Л. Бідермана [5], В.І. Корольова [6], А.К. Малмейстера, В.П. Тамужа і Г.А. Тетерса [7], Е.І. Григолюка [8] і ін.

Вихідні співвідношення механіки композиційних матеріалів.

Опис напружено-деформованого стану композиційних елементів здійснюється за допомогою співвідношень, що враховують специфічні особливості армованих матеріалів.

Одношаровий композиційний матеріал можна розглядати як ортотропне середовище (рис. 1). Для моделі (циліндричний – волокно в коаксильній оболонці – матриці), яка враховує відмін-

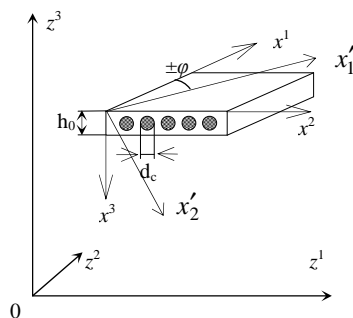


Рис.1.

ності в коефіцієнтах Пуассона матриці і волокон, модуль пружності E_1 в напрямі армуючого волокна в системі армування $Ox'_1x'_2x'_3$ визначається по формулі:

$$E_1 = E_C \Psi_C + E_R(1 - \Psi_C) + \frac{2(\nu_C - \nu_R)^2 E_C E_R \Psi_C (1 - \nu_C)}{E_R(1 - \nu_R)L_C + [L_R(1 - \Psi_C) + (1 - \nu_R)]E_C}, \quad (1)$$

де E_C - модуль пружності матеріалу волокна; E_R - модуль пружності матеріалу матриці; Ψ_C - коефіцієнт армування, що характеризує відносний об'ємний вміст волокон, $L_R = 1 - \nu_R - 2\nu_R^2$; $L_C = 1 - \nu_C - 2\nu_C^2$ [4]:

$$\Psi_C = \frac{\pi d_C^2}{4h_0} i_C, \quad (2)$$

де d_C - діаметр волокон; h_0 - товщина армованого шару; i_C - частота армування.

Поперечні модулі пружності E_2 і E_3 визначаються співвідношенням [9]:

$$E_2 = E_3 = \frac{E_C E_R}{E_R \Psi_C + E_C(1 - \Psi_C)}. \quad (3)$$

При збігу осі 1 з напрямом укладання волокон G_{12} і G_{13} характеризують пружні матеріалу в площинах 1-2 і 1-3 паралельних волокнам. Правило адитивності для композиційного матеріалу з суцільними волокнами наступне [9]:

$$G_{12} = G_{13} = \frac{G_C G_R}{G_C(1 - \Psi_C) + G_R \Psi_C}, \quad (4)$$

де G_C і G_R - модулі зсуву, відповідно матеріалів волокон і матриці.

Модуль зсуву G_{23} , що характеризує зв'язок між дотичними напруженнями і деформацією зсуву в площині 2-3, перпендикулярній осі волокон визначається по формулі [9]:

$$G_{23} = G_R \frac{(K_R + \Psi_C)G_C + (1 - \Psi_C)G_R}{K_R \Psi_R G_C + (1 + K_R \Psi_C)G_R}, \quad (5)$$

де $K_R = 3 - 4\nu_R$; ν_R - коефіцієнт Пуассона для матеріалу матриці.

Коефіцієнт Пуассона для однонаправленого композиційного матеріалу визначається по формулі [9]:

$$v_{12} = v_C \Psi_C + v_R(1 - \Psi_C). \quad (6)$$

Тіло, що має три ортогональні площини пружної симетрії, називається ортотропним. Воно характеризується дев'ятьма пружними характеристиками, оскільки [1]:

$$E_i \nu_{ji} = E_j \nu_{ij}. \quad (7)$$

Запишемо закон Гука для ортотропного шару [13]:

$$\begin{aligned} \sigma_{11} &= A_{11}\varepsilon_{11} + A_{12}\varepsilon_{22} + A_{13}\varepsilon_{33}; \\ \sigma_{22} &= A_{21}\varepsilon_{11} + A_{22}\varepsilon_{22} + A_{23}\varepsilon_{33}; \\ \sigma_{33} &= A_{31}\varepsilon_{11} + A_{32}\varepsilon_{22} + A_{33}\varepsilon_{33}; \\ \sigma_{12} = \sigma_{21} &= 2G_{12}\varepsilon_{12}; \quad \sigma_{13} = \sigma_{31} = 2G_{13}\varepsilon_{13}; \quad \sigma_{23} = \sigma_{32} = 2G_{23}\varepsilon_{23}. \end{aligned} \quad (8)$$

Параметри A_{ij} знаходяться із розв'язку системи

$$\begin{aligned} \varepsilon_{11} &= \frac{\sigma_{11}}{E_1} - \nu_{12} \frac{\sigma_{22}}{E_2} - \nu_{13} \frac{\sigma_{33}}{E_3}; \quad \varepsilon_{22} = -\nu_{21} \frac{\sigma_{11}}{E_1} + \frac{\sigma_{22}}{E_2} - \nu_{23} \frac{\sigma_{33}}{E_3}; \\ \varepsilon_{33} &= -\nu_{31} \frac{\sigma_{11}}{E_1} - \nu_{32} \frac{\sigma_{22}}{E_2} + \frac{\sigma_{33}}{E_3}; \quad \varepsilon_{ij} = \frac{\sigma_{ij}}{2G_{ij}} \quad (i, j = \overline{1,3}, i \neq j), \end{aligned} \quad (9)$$

і дорівнюють:

$$\begin{aligned} A_{11} &= E_1(1 - \nu_{23}\nu_{32})/\Delta; & A_{12} &= A_{21} = E_2(\nu_{21} + \nu_{23}\nu_{31})/\Delta; \\ A_{13} &= A_{31} = E_3(\nu_{31} + \nu_{32}\nu_{21})/\Delta; & A_{22} &= E_2(1 - \nu_{13}\nu_{31})/\Delta; \\ A_{23} &= A_{32} = E_3(\nu_{32} + \nu_{12}\nu_{31})/\Delta; & A_{33} &= E_3(1 - \nu_{21}\nu_{12})/\Delta, \end{aligned}$$

де $\Delta = (1 - \nu_{12}\nu_{21} - \nu_{13}\nu_{31} - \nu_{23}\nu_{32} - \nu_{12}\nu_{23}\nu_{31} - \nu_{13}\nu_{32}\nu_{21})$.

Одношаровий матеріал в загальному випадку не є ортотропним, так як його деформація залежить від напрямку навантаження. Деформація зсуву викликає нормальні напруження, а продольні здовження – дотичні напруження. На практиці частіше застосовується симетрична схема укладки шарів з перехресним армуванням під кутами $\pm\varphi$.

При повороті системи координат на кут φ пружні параметри перетворюються по формулах [13]:

$$B_{11} = A_{11} \cos^4 \varphi + 2(A_{12} + 2G_{12}) \sin^2 \varphi \cos^2 \varphi + G_{23} \sin^4 \varphi;$$

$$\begin{aligned}
B_{22} &= A_{11} \sin^4 \varphi + 2(A_{12} + 2G_{12}) \sin^2 \varphi \cos^2 \varphi + G_{23} \cos^4 \varphi; \\
B_{12} &= (A_{11} + A_{22} - 2A_{12} - 4G_{12}) \sin^2 \varphi \cos^2 \varphi + A_{12}; \quad B_{33} = A_{33}; \\
B_{13} &= A_{13} \cos^2 \varphi + A_{23} \sin^2 \varphi; \quad B_{23} = A_{13} \sin^2 \varphi + A_{23} \cos^2 \varphi; \\
B_{66} &= (A_{11} + A_{22} - 2(A_{12} + G_{12})) \sin^2 \varphi \cos^2 \varphi + G_{12}; \\
B_{44} &= G_{23} \cos^2 \varphi + G_{13} \sin^2 \varphi; \quad B_{55} = G_{23} \sin^2 \varphi + G_{13} \cos^2 \varphi; \\
B_{16} &= 0.5(A_{22} \sin^2 \varphi - A_{11} \cos^2 \varphi + (A_{12} + 2G_{12}) \cos 2\varphi) \sin 2\varphi; \\
B_{26} &= 0.5(A_{22} \cos^2 \varphi - A_{11} \sin^2 \varphi + (A_{12} + 2G_{12}) \cos 2\varphi) \sin 2\varphi; \\
B_{36} &= 0.5(A_{23} - A_{13}) \sin 2\varphi; \quad B_{45} = 0.5(G_{23} - G_{13}) \sin 2\varphi.
\end{aligned} \tag{10}$$

Закон Гука тепер буде мати вигляд:

$$\begin{aligned}
\sigma_{11} &= B_{11} \varepsilon_{11} + B_{12} \varepsilon_{22} + B_{13} \varepsilon_{33} + 2B_{16} \varepsilon_{12}; \\
\sigma_{22} &= B_{21} \varepsilon_{11} + B_{22} \varepsilon_{22} + B_{23} \varepsilon_{33} + 2B_{26} \varepsilon_{12}; \\
\sigma_{33} &= B_{31} \varepsilon_{11} + B_{32} \varepsilon_{22} + B_{33} \varepsilon_{33} + 2B_{36} \varepsilon_{12}; \\
\sigma_{12} &= \sigma_{21} = B_{61} \varepsilon_{11} + B_{62} \varepsilon_{22} + B_{63} \varepsilon_{33} + 2B_{66} \varepsilon_{12}; \\
\sigma_{13} &= \sigma_{31} = 2B_{45} \varepsilon_{23} + 2G_{13} \varepsilon_{13}; \quad \sigma_{23} = \sigma_{32} = 2G_{23} \varepsilon_{23} + 2B_{55} \varepsilon_{13}.
\end{aligned} \tag{11}$$

Якщо кожен з симетричних шарів є анізотропним в системі координат x^1, x^2 , то спільна робота двох шарів утворює ортотропний матеріал, для якого закон Гука спрощується до виду (8). Обчисливши напруження по формулам (10) для кутів армування $\pm\varphi$ і осереднюючи по шарам:

$$\sigma_{11} = 0.5(\sigma_{11}^+ + \sigma_{11}^-); \quad \sigma_{22} = 0.5(\sigma_{22}^+ + \sigma_{22}^-); \quad \sigma_{12} = 0.2(\sigma_{12}^+ + \sigma_{12}^-);$$

знайдемо нові пружні параметри ортотропного матеріалу $\bar{E}_i, \bar{\nu}_{ij}$ [5]:

$$\begin{aligned}
\bar{E}_1 &= \frac{\Delta^*}{B_{22}B_{33} - B_{23}^2}; \quad \bar{E}_2 = \frac{\Delta^*}{B_{11}B_{33} - B_{13}^2}; \quad \bar{E}_3 = \frac{\Delta^*}{B_{11}B_{22} - B_{12}^2}; \\
\bar{\nu}_{12} &= \frac{B_{12}B_{33} - B_{13}B_{23}}{B_{11}B_{33} - B_{13}^2}; \quad \bar{\nu}_{13} = \frac{B_{13}B_{22} - B_{12}B_{23}}{B_{22}B_{33} - B_{23}^2}; \quad \bar{\nu}_{23} = \frac{B_{11}B_{23} - B_{12}B_{13}}{B_{11}B_{22} - B_{12}^2};
\end{aligned}$$

де $\Delta^* = \det \mathbf{B}$.

Особливість напружено-деформованого стану композиційного матеріалу можна врахувати тензором пружних постійних C^{ijkl} . Закон Гука

для анізотропного тіла в тензорній формі, який пов'язує компоненти тензора напружень σ^{ij} і деформацій ε_{ij} має вигляд:

$$\sigma^{ij} = C^{ijkl} \varepsilon_{kl}. \quad (12)$$

Компоненти тензора пружних постійних обчислюються по формулах :

$$\begin{aligned} C^{1111} &= \frac{\bar{E}_1}{\Delta_*} (1 - \bar{v}_{23} \bar{v}_{32}); & C^{1122} &= \frac{\bar{E}_2}{\Delta_*} (\bar{v}_{21} + \bar{v}_{31} \bar{v}_{23}); \\ C^{1133} &= \frac{\bar{E}_3}{\Delta_*} (\bar{v}_{31} + \bar{v}_{21} \bar{v}_{32}); & C^{2211} &= \frac{\bar{E}_1}{\Delta_*} (\bar{v}_{12} + \bar{v}_{13} \bar{v}_{32}); \\ C^{2222} &= \frac{\bar{E}_2}{\Delta_*} (1 - \bar{v}_{13} \bar{v}_{31}); & C^{2233} &= \frac{\bar{E}_3}{\Delta_*} (\bar{v}_{32} + \bar{v}_{12} \bar{v}_{31}); \\ C^{3311} &= \frac{\bar{E}_1}{\Delta_*} (\bar{v}_{13} + \bar{v}_{12} \bar{v}_{23}); & C^{3322} &= \frac{\bar{E}_2}{\Delta_*} (\bar{v}_{23} + \bar{v}_{13} \bar{v}_{21}); \\ C^{3333} &= \frac{\bar{E}_3}{\Delta_*} (1 - \bar{v}_{21} \bar{v}_{12}); & C^{1212} &= \frac{G_{12}}{2}; C^{1313} = \frac{G_{13}}{2}; C^{2323} = \frac{G_{23}}{2}, \end{aligned} \quad (13)$$

де $\Delta_* = (1 - \bar{v}_{12} \bar{v}_{21} - \bar{v}_{13} \bar{v}_{31} - \bar{v}_{23} \bar{v}_{32} - \bar{v}_{12} \bar{v}_{23} \bar{v}_{31} - \bar{v}_{13} \bar{v}_{32} \bar{v}_{21})$.

Для ортотропного матеріалу матриця пружних постійних має наступний :

$$C^{ijkl} = \begin{bmatrix} C^{1111} & 0 & 0 & 0 & C^{1122} & 0 & 0 & 0 & C^{1133} \\ 0 & C^{1212} & 0 & C^{1221} & 0 & 0 & 0 & 0 & 0 \\ 0 & 0 & C^{1313} & 0 & 0 & 0 & C^{1331} & 0 & 0 \\ 0 & C^{2112} & 0 & C^{2121} & 0 & 0 & 0 & 0 & 0 \\ C^{2211} & 0 & 0 & 0 & C^{2222} & 0 & 0 & 0 & C^{2233} \\ 0 & 0 & 0 & 0 & 0 & C^{2323} & 0 & C^{2332} & 0 \\ 0 & 0 & C^{3113} & 0 & 0 & 0 & C^{3131} & 0 & 0 \\ 0 & 0 & 0 & 0 & 0 & C^{3223} & 0 & C^{3232} & 0 \\ C^{3311} & 0 & 0 & 0 & C^{3322} & 0 & 0 & 0 & C^{3333} \end{bmatrix}. \quad (14)$$

Компоненти тензора пружних постійних задаються в місцевій ортогональній системі координат. Для переходу в базисну декартову систему координат перетворення тензора четвертого рангу здійснюється по формулі [9]:

$$C^{ijkl} = C_*^{mnpq} a_m^i a_n^j a_p^k a_q^l, \quad (15)$$

де a_m^i - тензор повороту системи координат, який пов'язаний з тензором

перетворення координат $b_m^i = \frac{\partial z^i}{\partial x_m}$ наступним співвідношенням

$$a_m^i = \frac{b_m^i}{\sqrt{g_{mm}}};$$

g_{ij} – компоненти метричного тензора.

Матриця жорсткості композиційного скінченного елемента будується на основі стандартних процедур з використанням моментної схеми [12]. Вище викладена методика скінченно-елементного дослідження напружено-деформованого стану просторових конструкцій композиційних матеріалів реалізована у вигляді пакету прикладних програм «МРЕЛА+» для РС IBM [11].

Задача 1. Задача Ляме для порожнистого циліндра із ортотропного матеріалу під дією внутрішнього тиску [13].

Геометричні розміри оболонки: внутрішній радіус $R_1 = 0.1m$; зовнішній – $R_2 = 0.15m$. Інтенсивність внутрішнього тиску $q = 0.2$ МПа. Фізичні постійні для волокон і матриці композиційного матеріалу: $E_C = 12800$ МПа; $\nu_C = 0.3$; $E_R = 2.1$ МПа; $\nu_R = 0.49$. Частота армування композиту $\Psi_C = 0.5$, кут армування шару $\phi = \pm 15^\circ$. Пружні параметри ортотропного матеріалу для відповідних характеристик: радіальний модуль $E_1 = 2304$ МПа; тангенціальний – $E_2 = 5859.5$ МПа; $\nu_{21} = 0.28$.

В полярній системі координат для плоскої задачі теорії пружності, рівняння рівноваги має вигляд:

$$\frac{d\sigma_r}{dr} + \frac{\sigma_r - \sigma_\Theta}{r} = 0. \quad (16)$$

Закон Гука для вісесиметричної задачі ортотропного матеріалу запишеться у вигляді:

$$\sigma_r = \frac{1}{1 - \nu_{12}\nu_{21}} (E_1 \varepsilon_r + E_2 \nu_{12} \varepsilon_\Theta); \quad (17)$$

$$\sigma_\Theta = \frac{1}{1 - \nu_{12}\nu_{21}} (E_1 \nu_{21} \varepsilon_r + E_2 \varepsilon_\Theta). \quad (18)$$

Використовуючи співвідношення Коші між деформаціями і радіальним переміщенням u і підставляючи напруження в рівняння рівноваги (16) отримуємо диференціальне рівняння:

$$\frac{d^2 u}{dr^2} + \frac{1}{r} \frac{du}{dr} - \frac{E_2}{E_1} \frac{u}{r^2} = 0. \quad (19)$$

Розв'язком цього рівняння є функція:

$$u = Ar\sqrt{E_2/E_1} + \frac{B}{r\sqrt{E_2/E_1}}. \quad (20)$$

По переміщеннях згідно з (17) і (18) знаходимо напруження:

$$\sigma_r = \frac{\sqrt{E_2}}{1-\nu_{12}\nu_{21}} \left(Ar\sqrt{E_2/E_1-1} \left(\sqrt{E_2}\nu_{12} + \sqrt{E_1} \right) + \frac{B}{r\sqrt{E_2/E_1+1}} \left(\sqrt{E_2}\nu_{12} - \sqrt{E_1} \right) \right); \quad (21)$$

$$\sigma_\Theta = \frac{\sqrt{E_2}}{1-\nu_{12}\nu_{21}} \left(Ar\sqrt{E_2/E_1-1} \left(\sqrt{E_1}\nu_{21} + \sqrt{E_2} \right) + \frac{B}{r\sqrt{E_2/E_1+1}} \left(\sqrt{E_2} - \sqrt{E_1}\nu_{21} \right) \right). \quad (22)$$

Постійні A і B визначаються граничних умов: при $r = R_1$, $\sigma_r = -q$, при $r = R_2$, $\sigma_r = 0$.

Розв'язавши систему, знаходимо:

$$A = \frac{qR_1\sqrt{E_2/E_1+1}(1-\nu_{12}\nu_{21})}{(\sqrt{E_1E_2} + E_2\nu_{12})(R_2^{2\sqrt{E_2/E_1}} - R_1^{2\sqrt{E_2/E_1}})}, \quad (23)$$

$$B = \frac{qR_1\sqrt{E_2/E_1+1}R_2^{2\sqrt{E_2/E_1}}(1-\nu_{12}\nu_{21})}{(\sqrt{E_1E_2} - E_2\nu_{12})(R_2^{2\sqrt{E_2/E_1}} - R_1^{2\sqrt{E_2/E_1}})}. \quad (24)$$

Аналітичний розв'язок задачі по переміщеннях складає: $u_1 = 0.10515 \cdot 10^{-4}$ м, $u_2 = 0.07859 \cdot 10^{-4}$ м, чисельний розв'язок по МСЕ $u_1 = 0.1036 \cdot 10^{-4}$ м, $u_2 = 0.0758 \cdot 10^{-4}$ м. Похибка складає 1.42–3.56 %.

На рис. 2–3 приведені графіки розподілу радіальних σ_r і тангенціальних σ_Θ напружень по товщині циліндра. На рис. 4 наведено залежність

деформації циліндра від кута армування φ . Похибка по напруженням також на перевищує 5%.

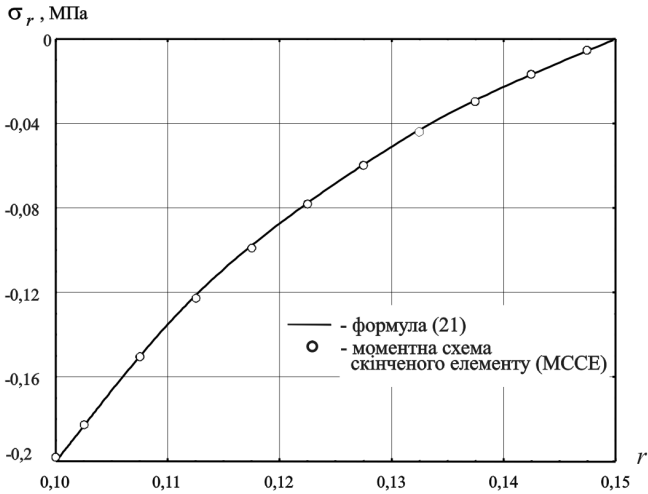


Рис. 2. Розподіл радіальних напружень σ_r по товщині циліндра

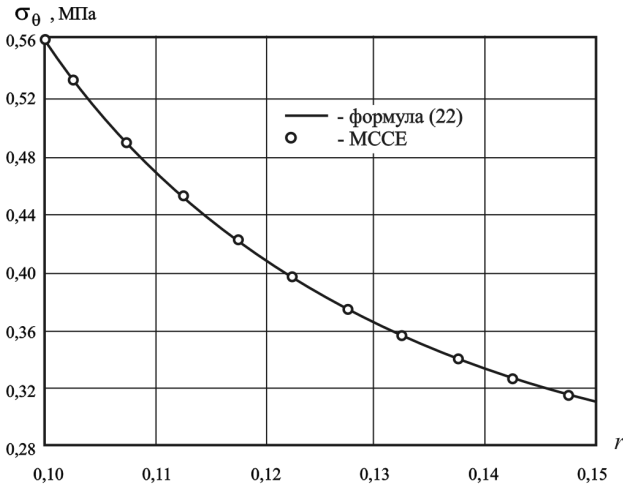


Рис. 3. Розподіл тангенціальних напружень σ_θ по товщині циліндра

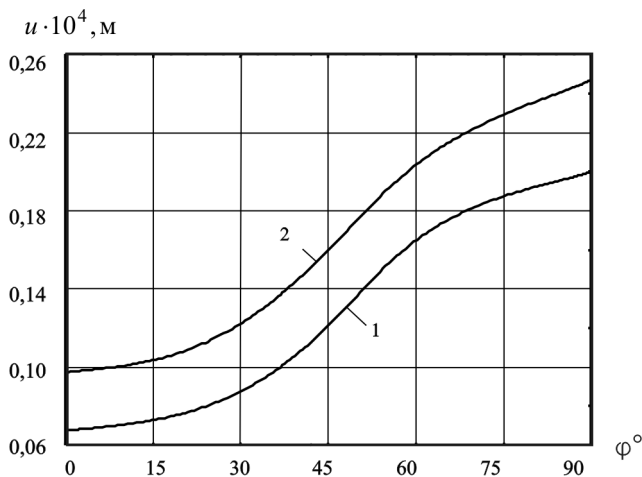


Рис.4. Залежність переміщень на внутрішній – 1, та зовнішній поверхні циліндра – 2 від кута армування

Задача 2. Напружено–деформований стан оболонки тора під дією внутрішнього тиску.

Тороїдальна оболонка виконана з восьми перехресний армованих шарів. Шари оболонки мають однотипну будову з кутами перехресного армування $\varphi = \pm 52^\circ$. Геометричні розміри: радіус по меридіану $R = 40$ см, радіус по тору $r = 10$ см, товщина – $h = 0.96$ см, кут розвороту $\alpha = 120^\circ$. Каркасним матеріалом армованого шару, завтовшки 0.12 см, є текстильний корд з модулем пружності $E_C = 1600$ МПа і коефіцієнтом Пуассона $\nu_C = 0.4$. Матеріал матриці – гума з $E_R = 3.6$ МПа та $\nu_R = 0.49$. Діаметр нитки корду $d_C = 0.07$ мм; частота армування $i_C = 9.9$ ниток/см. Внутрішній тиск $p = 0.2$ МПа.

На рис. 5 приведені графіки розподілу радіальних σ_{22} напружень, які по товщині оболонки змінюється лінійно. На рис. 6 наведені графіки розподілу дотичних σ_{12} напружень в залежності від кута розвороту α .

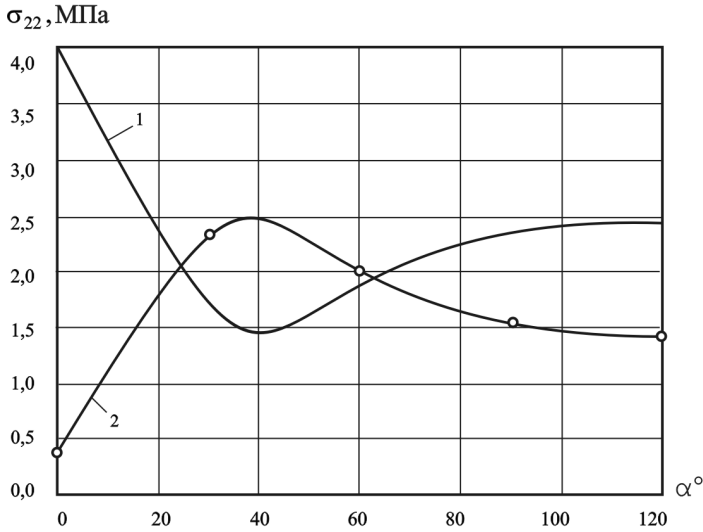


Рис. 5. Розподіл напружень σ_{22} на внутрішній (1) та зовнішній (2) поверхнях тора

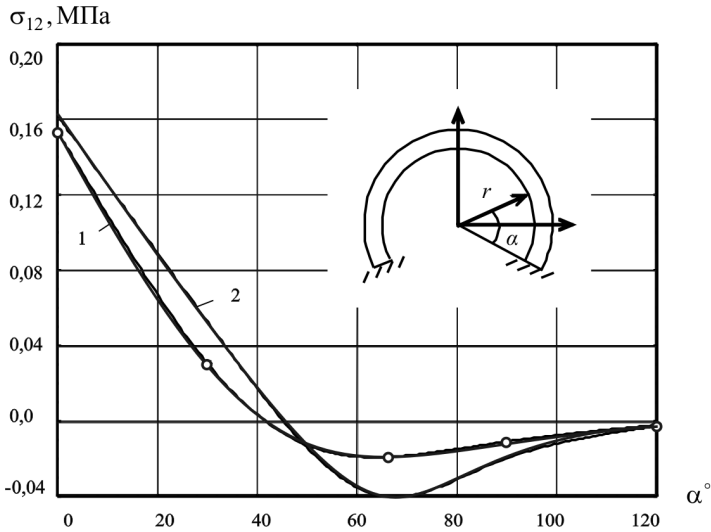


Рис. 6. Розподіл напружень σ_{12} на внутрішній (1) та центральній $h/2$ (2) поверхнях тора

Висновок. Як показує аналіз, результати дослідження напружено-деформованого стану композиційних матеріалів методом скінченних елементів добре узгоджуються з аналітичним. Використання МСЕ дозволяє досліджувати більш геометрично складні конструкції.

1. Механика композитных материалов и элементов конструкций. В 3-х т. Т.1. Механика материалов/Гузь А.Н., Хорошун Л.П., Ванин Г.А. и др. – Киев: Наук. думка, 1982. – 368 с.
2. *Амбарцумян С.А.* Общая теория анизотропных оболочек. М.: Наука. 1974. – 448с.
3. *Огибалов П.М., Колтунов М.А.* Оболочки и пластины. М.: Изд-во МГУ. 1969. – 695с.
4. *Терегулов А.Г.* К теории многослойных анизотропных оболочек. – В кн.: Исследования по теории пластин и оболочек. Казань: Изд. КГУ. 1970., вып. 6-7. С. 762-767.
5. *Бидерман В.Л.* Пластины и оболочки из стеклопластиков. В кн.: Прочность, устойчивость, колебания. М.: Машиностроение, 1968. Т. 2. С. 211-242.
6. *Королев В.И.* Слоистые анизотропные пластинки и оболочки из армированных пластмасс. М., Машиностроение, 1965. 272с.
7. *Малмейстер А.К., Тамуж В.П., Тетерс Г.А.* Сопротивление жестких полимерных материалов. Рига: Зинатне, 1972. 498с.
8. *Григолюк Э.И., Куликов Г.М.* Многослойные армированные оболочки: Расчет пневматических шин. – М.: Машиностроение, 1988. – 288 с.
9. Композиционные материалы. Справочник//Под ред. Карпиноса, Киев: Наук. думка, 1985. – 592 с.
10. *Гузь А.Н.* Основы трехмерной устойчивости деформируемых тел. – К.: Вища шк. Головное изд-во, 1986.–511 с.
11. Метод конечных элементов в вычислительном комплексе «МРЕЛА+». – / Киричевский В.В., Дохняк Б.М., Козуб Ю.Г. и др. – К.: Наукова думка, 2005. – 403 с.
12. Метод конечных элементов в механике твердых тел. / Сахаров А.С., Кислоцкий В.Н., Киричевский В.В. и др. // Под ред. А.С. Сахарова и И. Альтенбаха. – К.: Вища школа, 1982. – 480 с.
13. *Дохняк Б.М., Киричевский В.В., Карпушин А.Д.* Метод конечных элементов в исследовании оболочечных конструкций из композиционных материалов. - Труды девятого симпозиума "Проблемы шин и резинокордных композитов. Надежность, стабильность-качество". Изд-во НИИ шинной промышленности. Москва.-1998. - С. 133-140.